

المنظومة الطوعية لتنبع أشعة الشمس

جاسم محمد جاسم غالب عبد الوهاب فضي محمد سلمان

جامعة بابل - كلية العلوم للبنات - قسم فيزياء الليزر

مجلة جامعة بابل

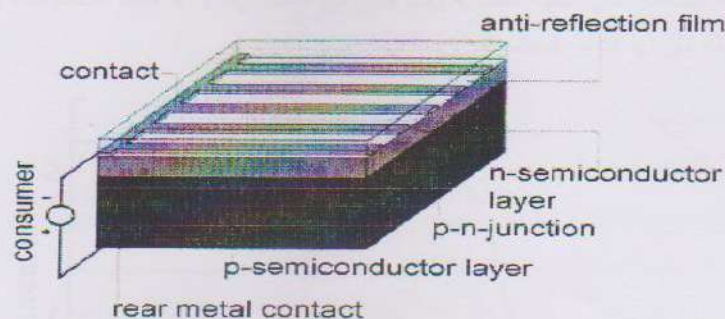
٢٠٠٩

الخلاصة

يمكن تحسين كفاءة أداء اللوح الشمسي المستخدم في تحويل الطاقة الشمسية بشكل مباشر إلى طاقة كهربائية من خلال الاستفادة القصوى من الطاقة الشمسية ضمن فترة تواجدها، عن طريق تنبع اللوح الشمسي إلى قرص الشمس المتحرك ضمن مدار الطبيعي بواسطةمنظومة تنبع طربيعى تتالف من خلية شمسية أو كاشف رباعي، إذا أردنا أن يكون التتبع ذاتية عالية لاستلام أكبر مقدار من أشعة الشمس وتحويلها إلى إشارة كهربائية، وأيضاً تتالف من محرك كهربائي لتوريد اللوح الشمسي بالاتجاه الأفقي أو العمودي ودائرة سيطرة الكترونية تقوم باستلام الإشارة الكهربائية وتحليلها ثم إرسال إشارة كهربائية إلى المحرك لتسويير اللوح الشمسي باتجاه حرفة حركة قرص الشمس بما يضمن تحقيق أعلى كفاءة لمنظومة.

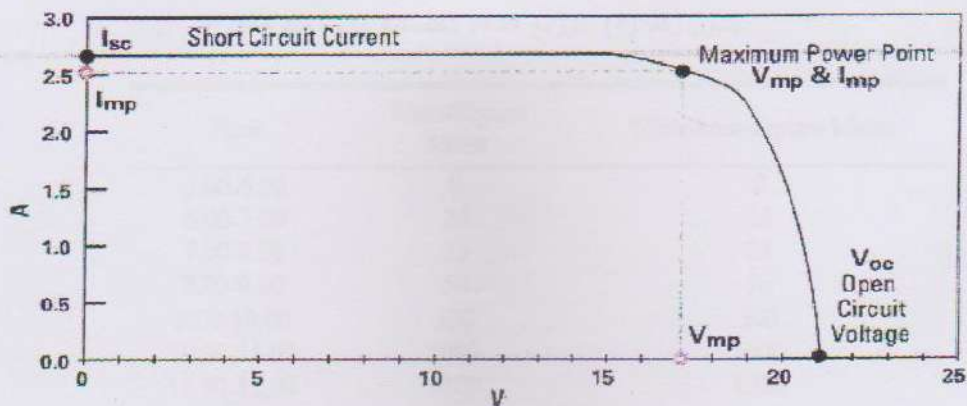
المقدمة

تحول الخلايا الشمسية الطاقة الشمسية مباشرة إلى طاقة كهربائية بدون عمليات وسطية، فهي تمتص حزمة عريضة من الطيف الشمسي وتحول جزء من هذه الإشعاعات إلى طاقة كهربائية حيث يمكن استخدامها في الحال أو تخزينها. تصنع غالبية الخلايا الشمسية من السيليكون وهو من أشباه الموصلات. الشكل رقم (١) يبين خلية شمسية حيث أن أي خلية شمسية مثالية تتالف من غطاء زجاجي خارجي وقطبين أحدهما خلفي والآخر أمامي وطبقات من شبه الموصل، حيث تكون أشعة الشمس مجتمعة على القطب الأمامي فيمر التيار الكهربائي عائداً إلى الخلية الشمسية عبر القطب الخلفي.



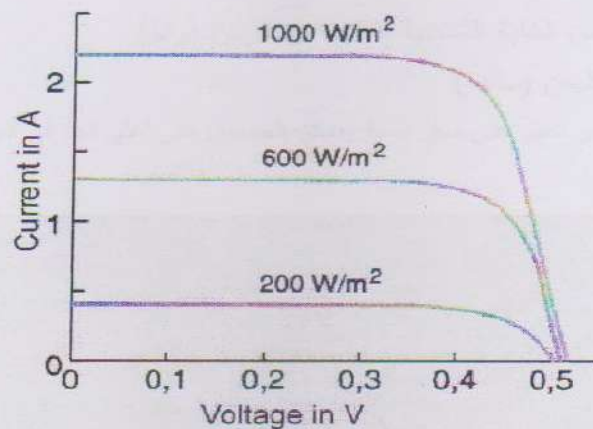
الشكل رقم (١) يبين الأجزاء التي تتتألف منها الخلية الشمسية [١]

إن الغاية الأساسية من الخلية الكهروضوئية هي أن تعطي تياراً وجهاً كهربائياً معيناً لينطوي أحصال معينة ولذلك فإن خاصية التيار - فولت (V - I) للخلية تعتبر النقطة الأساسية في اختبار الخلية، وتمثل هذه الخاصية عادة على شكل منحنى يسمى منحنى عمل الخلية الكهروضوئية كما مبين في الشكل رقم (٢).



الشكل رقم (٢) يمثل الخواص الكهربائية للخلية الشمسية [١].

عندما تكون دائرة الخلية تكون في حالة قصر تكون ($V = 0$) و التيار يساوي تيار القصر (I_{SC}). وعندما تكون دارة الخلية تكون مفتوحة الجهد عندها يساوي V_{OC} والتيار ($I = 0$). تؤخذ نقطة عمل الخلية الكهروضوئية في النقطة التي يكون فيها الجهد والتيار أكبر ما يمكن أي في النقطة التي تكون فيها القدرة أعظم ميمكن ($P_{Max} = I_{Max} \times V_{Max}$). وتعتمد قيمة الجهد الناتج على نوع المادة المصنوع منها الخلية الشمسية فـ لخلايا المصنوعة من السيلكون تصل تقريبا إلى (٥٠٠) فولت إما قيمة التيار فيعتمد على قيمة شدة الأشعة الساقطة على الخلية الشمسية وكما مبين في الشكل رقم (٣)، حيث نلاحظ كلما زادت شدة الأشعة الساقطة كان لها التأثير المباشر في زيادة قيمة التيار.



الشكل رقم (٣) يمثل الخواص الكهربائية للخلية الشمسية (Si) كدالة شدة الأشعة الساقطة [٢].

إن شدة أشعة الشمس هي ليست قيمة ثابتة على مدار الساعة وإنما تكون متغيرة بين شروق قرص الشمس وغروبها وتكون أعلى شدة لأشعة الشمس في منتصف الوقت كما مبين في الجدول رقم (١) وعلىية تتغير القدرة الكهربائية المجهزة من الخلية الشمسية تبعاً لذلك.

جدول رقم (١) توزيع الشدة الشمسية ليوم واحد [٣].

Time	Watts/Square Meter	Watts-hour/Square Meter
5.00-6.00	0	0
6.00-7.00	25	25
7.00-8.00	25	25
8.00-9.00	50	50
9.00-10.00	300	300
10.00-11.00	1000	1000
11.00-12.00	1200	1200
12.00-13.00	1000	1000
13.00-14.00	300	300
14.00-15.00	50	50
15.00-16.00	25	25
16.00-17.00	25	25
17.00-18.00	0	0
Total Watts-hour/Square Meter		4000

ان (W) يمكن ايجادها من العلاقة $W =$

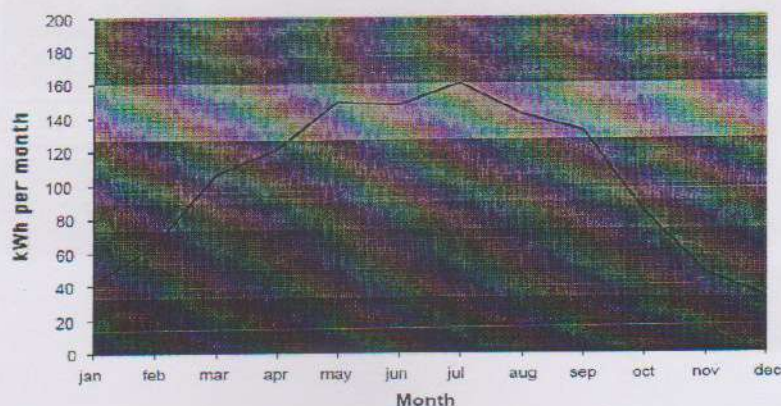
حيث ان:

W : القدرة الكهربائية

P : القدرة المجهزة من الخلية الشمسية لساعة من الزمن (واط)

t : الفترة الزمنية للشحن (ساعة)

كما ان شدة أشعة الشمس تتغير على مدار السنة ويمكن الحصول على اعلى شدة في شهر تموز كما مبين من الشكل رقم (٤).



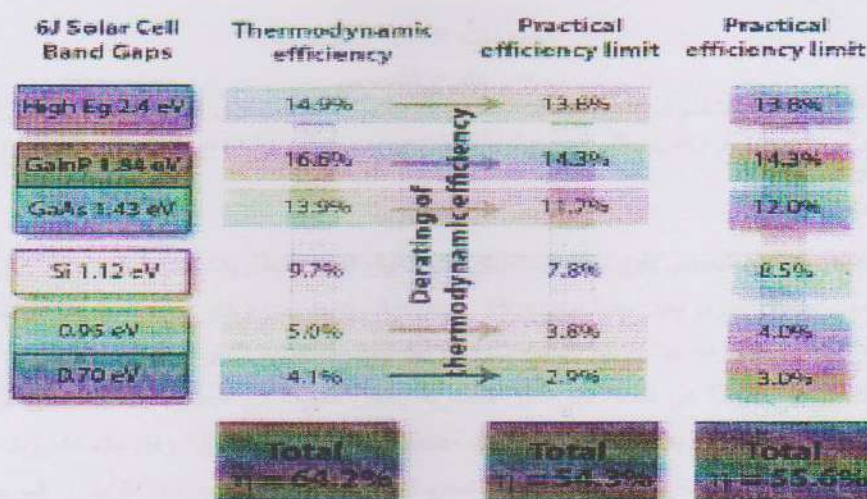
الشكل رقم (٤) توزيع الشدة الشمسية على مدار سنة كاملة [٣].

من العوامل المهمة الأخرى المؤثرة في قيمة القدرة الكهربائية المجهزة من قبل اللوح الشمسي التي يجب إن تؤخذ بنظر الاعتبار هي كفأة التحويل وإبعاد اللوح الشمسي كما مبين في الجدول رقم (٢).

الجدول رقم (٢) تأثير كفأة التحويل والمساحة ل الخلية الشمسية على القدرة الخارجية [٤].

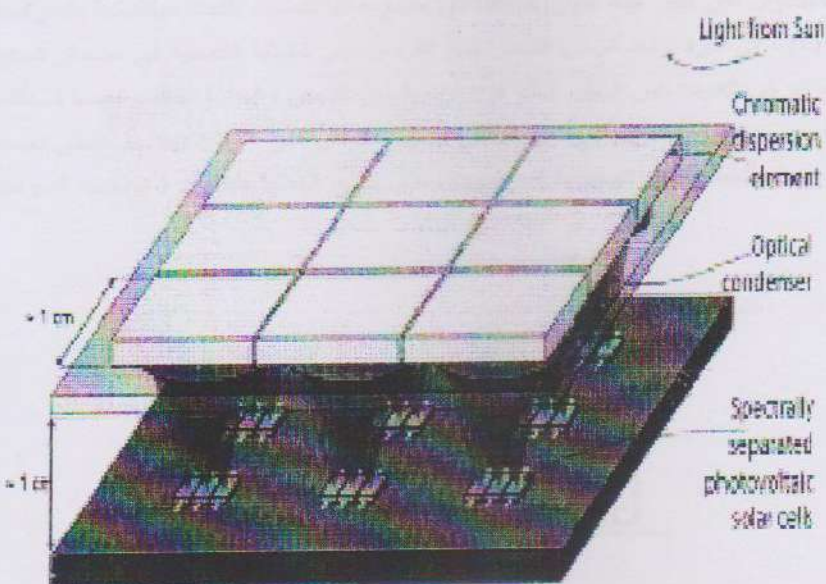
PV module efficiency* (percent)	PV capacity rating (watts)							
	100	250	500	1000	2000	4000	10000	100000
Roof area needed in square feet								
4	30	75	150	300	600	1200	3000	30000
8	15	38	75	150	300	600	1500	15000
12	10	25	50	100	200	400	1000	10000
16	8	20	40	80	160	320	800	8000

حيث تم تحسين كفأة تحويل الخلية الشمسية من ١٦% إلى ٤٠% عن طريق إنتاج خلية شمسية ذات الوصلات الاربعة [٥] ومن ثم ٥٥% بانتاج نوع جديد اخر من الخلايا الشمسية تدعى الخلايا الشمسية ذات الوصلات الستة .



الشكل رقم (٥) الخلية الشمسية ذات الوصلات الستة [٦].

لكل وصلة من هذه الوصلات قيمة للفجوة تختلف عن الأخرى ويلتالي لها استجابة لطول موجي معين. يعتمد مبدأ عملها على نصل الطيف الشمسي من خلال عنصر بصري إلى مكوناته اللونية ومن ثم اسقاطه على مجاميع من الخلايا لكل مدى من اللون وكما مبين في الشكل رقم (٦).



الشكل رقم (٦) مبدأ عمل الخلية ذات الوصلات الستة [٦]

المكونات العامة للمنظومة

اللوح الشمسي

اللوح الشمسي المستخدم في هذا البحث يتكون من العديد من الخلايا الشمسية ربطت بشكل مشترك (ربط توالي + توازي)، والذي يمكن الحصول منه على جهد يصل إلى (١٨) فولت وتيار يصل إلى (١٨٠٠) ملي أمبير تقريباً.

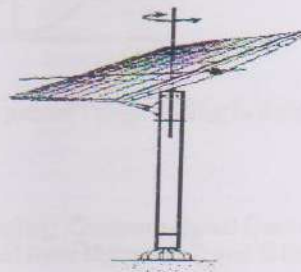
البطارية

البطارية هي مركب كيميائي يقوم بتخزين الطاقة الكهربائية، تتميز البطاريات بخصائصين مشتركتين: الجهد الافتراضي، وسعة الخزن يعبر عنها بـ Ampere Hours. توجد أنواع كثيرة من البطاريات تختلف وفق اختلاف التقنية المصنوعة بها. عملية الشحن تكون بربط البطارية بمتابع للتيار حيث لا يتعدى تيار الشحن C١ و لا أقل من C/٢. و C هي السعة التي تتميز البطارية (تكون مكتوبة في البطارية عادة، كمثال على ذلك سعة بطارية هي ٨٥mAh، يعني قيمة C هي ٨٥). ولشحن البطارية وفق هذه الشروط فإن مدة الشحن ستطول بين الساعتين والثلاث ساعات. وشحن البطارية يمر بثلاث مراحل تقريباً . المرحلة الأولى توفر تيار مستمر ثابت، ونقوم برفع قيمة الجهد تدريجياً حتى نصل للجهد الافتراضي ١٢ فولت (الجهد يجب أن يكون معدلاً ومحوراً Regulated and redressed). نمر مباشرةً للمرحلة الثانية وهي ملأ البطارية و هي بترك الجهد في قيمته الثابتة، ونقوم بخفض قيمة التيار تدريجياً. يعني هذا أن عملية الشحن هي عملية

منظمة وليست عشوائية وتحتاج لدارة خاصة تقوم بمراقبة الشحن [٧]. في هذا البحث تم استخدام اللوح الشمسي للشحن الباطرية الخاصة بالمنظومة بشكل مبدئي.

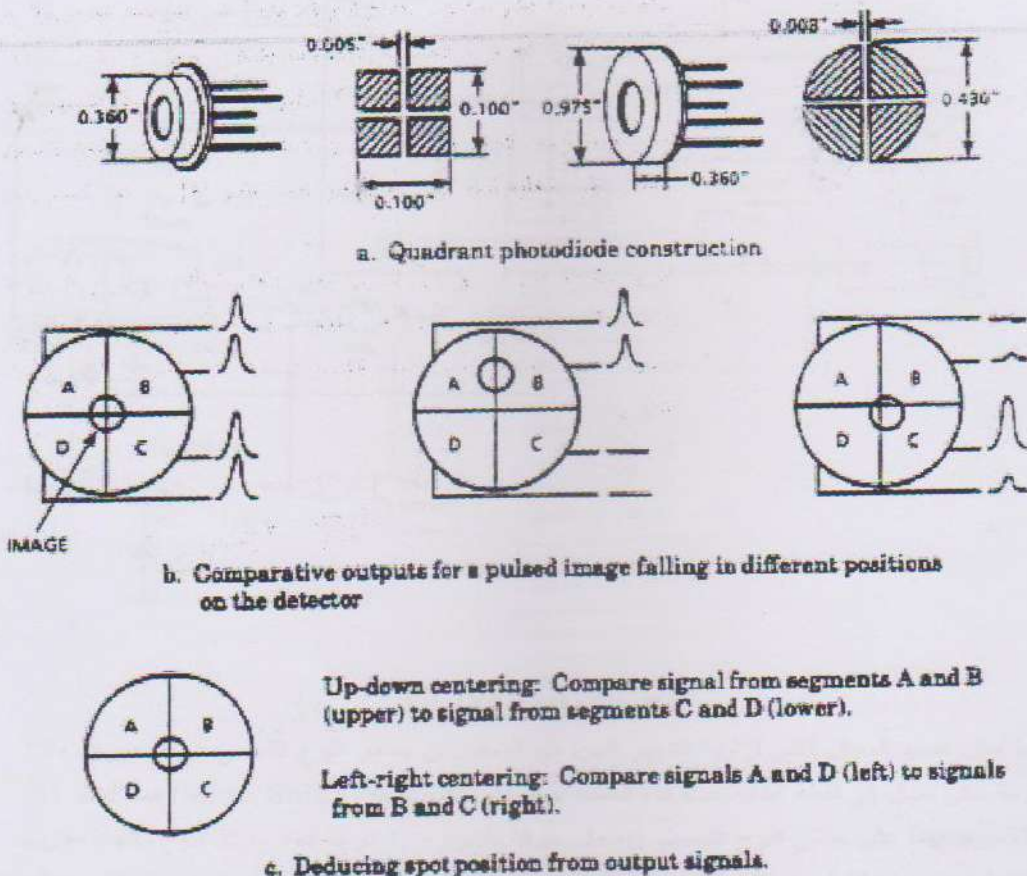
ضبط زاوية سقوط الشمس

تأثر قيمة التيار الكهربائي المتزامن من الخلية الشمسية بشدة أشعة الشمس وعليه يجب ضبط زاوية سقوط الشمس على الخلاية لاحتساب على أكبر قيمة للتيار [٨]. لذا تم صنع خلايا شمسية بقاعدة ميكانيكية متحركة كما بينها الشكل رقم (٧) ، في فترة توقيت قرص الشمس يمر القرص عبر الخلايا الشمسية في مسار شبه دائري من جهة من الشرق إلى الغرب عبر الأفق، لذلك فإن الزاوية بين الشمس والخلايا تختلف تبعاً لذلك، علماً أن أفضل زاوية موجودة هي عندما تسقط أشعة الشمس بشكل عمودي على الخلايا. وبناءً على ذلك لتحقيق أفضل النتائج يجعل أشعة الشمس تسقط بشكل عمودي على سطح الخلايا طيلة فترة توقيت قرص الشمس.



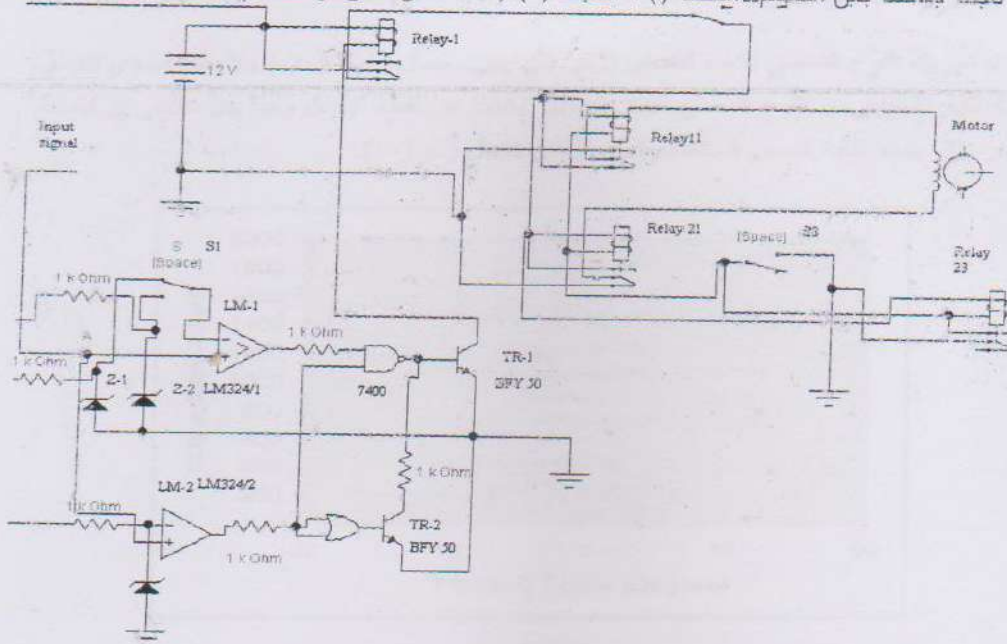
الشكل رقم (٧) القاعدة الميكانيكية

ويتم ذلك باستخدام أما كاشف رباعي الذي هو عبارة عن أربع قطع ذات مساحة متساوية لكل من هذه القطع وصلة خرج خاصة بها وبالتالي يمكن أن توفر المعلومات بتغير موقع صورة الأشعة الساقطة عليها كما مبين في الشكل رقم (٨) ولتحديد موقع القرص في الأعلى أو الأسفل يمكن من خلال العلاقة التالية $(A + B) - (C + D)$ إما لتحديد موقع القرص في اتجاه اليمين أو اليسار يتم عن طريق المعادلة الآتية $(A + D) - (B + C)$.



الشكل رقم (٨) الكاشف الرباعي [٩]

أو باستخدام خلية ضوئية واتي تم اعتمادها في هذا البحث. ولكي يتبع اللوح الشمسي حركة قرص الشمس بشكل مستمر وطوعي تمت السيطرة على المحرك الكهربائي المسؤول عن تدوير اللوح عن طريق دائرة السيطرة المبينة في الشكل رقم (٩). ترسل الإشارة الكهربائية من الخلية الضوئية إلى المقارن رقم (١) الذي يجهز لحد إطراقه بقولية المرجعية عن طريق المفتاح الاختياري رقم (S1) حيث يمكن عن طريقة اختيار جهدين مرجعين تبعاً لحالة الطقس إن كان صيفاً أم شتاءً والطرف الآخر مربوط إلى الخلية الشمسية ، فإذا كان الجهد الواسط أعلى من الجهد المرجعي يعني هذا إن زاوية التدوير للوح الشمسي تتلاعماً مع شدة أشعة الشمس وال الحاجة لتدوير اللوح الشمسي . إما إذا كان أقل من ذلك ترسل إشارة كهربائية من المقارن رقم (١) إلى الترانزistor (T1) المسيطر على المرحل (R1) لتجهيز المحرك بالجهد اللازم لتدويره باتجاه عقارب الساعة. وعندما تصل شدة الشمس إلى القيمة المطلوبة سوف يقوم المقارن بإرسال إشارة أخرى إلى الترانزistor (T1) الذي يقوم بدوره بقطع الجهد الواسط إلى المحرك وبالتالي يدور اللوح الشمسي بأفضل زاوية يمكن الحصول منها على أقصى شدة لأشعة الشمس وتتكرر هذه العملية بشكل مستمر مع حركة قرص الشمس.



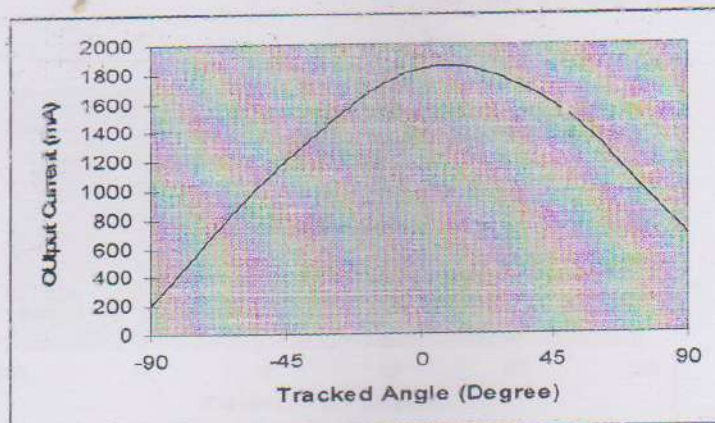
لشكل رقم (٩) دائرة السيطرة

كما أمكن تحديد المجال الكلي لزاوية التدوير فليس من المعقول أن يستمر اللوح الشمسي في الدوران ٣٦٠ درجة حتى يصل إلى نقطة البداية. تمت هذه العملية باستخدام مفاتيح دقيقة (S3 and Micro Switch) هما (S2)، بوضعهما على جانبي اللوح الشمسي وب مجال حركة مقداره ٢٠٠ درجة عند حركة اللوح باتجاه عقارب الساعة وعند وصولة إلى المفتاح الدقيق (S3) وتماسهما يتم عكس الجهد المسلط على المحرك الكهربائي بواسطة المرحل، (R₂₁, R₂₂ and R₂₃) وبهذا يتم عكس حركة اللوح الشمسي لتكون عقارب الساعة وعند وصولة إلى المفتاح الدقيق (S2) وتماسهما مع بعض يتم أيضاً عكس الجهد المسلط على المحرك الكهربائي بواسطة المرحل، (R2) وبهذا يتم عكس حركة اللوح الشمسي مرة أخرى لتكون مع عقارب الساعة. كما أمكن تحديد فترة التتبع وتحديدها بوجود قرص الشمس أي ان عملية التتبع تتوقف عند غروب قرص الشمس ولا تبدأ ألا مع الشروق وذلك بالاستفادة من المقارن (LM1) للعمل مع المقارن (LM2) لقطع تجهيز الجهد إلى المحرك الكهربائي في حال عدم توفر الطاقة الشمسية، حيث يقوم المقارن (LM2) بإرسال إشارة إلى الترانزستور (T2) ليقوم بدوره بقطع دائرة تجهيز الجهد عن المحرك الكهربائي وبالتالي توقفه تماماً عن العمل، إلا بإشارة أخرى من نفس المقارن تسمح بآصال الجهد إلى المحرك ثم تبدأ عملية التتبع إلى قرص الشمس.

القياسات العملية

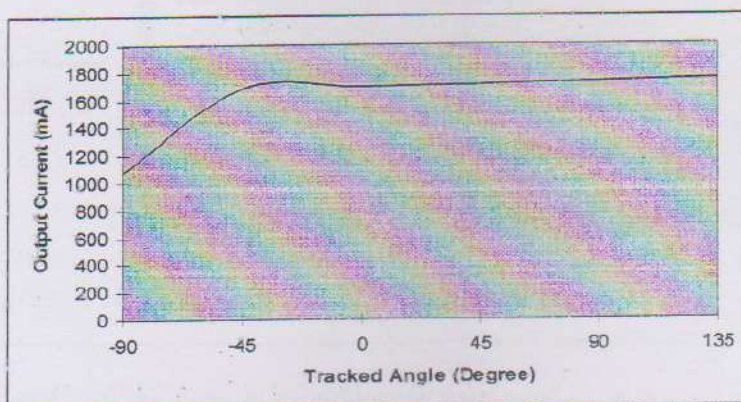
لمعرفة تأثير زاوية الدوران للوح الشمسي مع قرص الشمس بشكل عملي تم اخذ القياسات الآتية باعتبار الزاوية (٠٠٠) تمثل الزاوية التي تم الحصول عندها على أقصى كفاءة المنظومة في الساعة الثانية عشر صباحاً ليوم ٢٠٠٨/١/٧ في جو مشمس.

١- تم تحريك اللوح الشمسي باتجاه المحور الأفقي إلى يمين وشمال زاوية (٠٠٠) ولاحظنا مدى تغير قيمة التيار المجهز من اللوح الشمسي حيث يقل كلما ابتعدنا عن نقطة الأصل وهذا يدل على إن قيمة التيار تتأثر بشدة أشعة الشمس الساقطة وكما مبين في الشكل رقم (١٠).



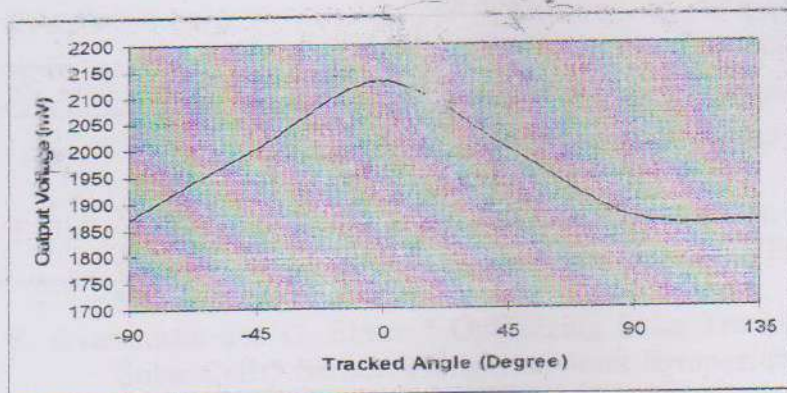
الشكل رقم (١٠) العلاقة بين قيمة التيار وتغير الزاوية الأفقي للوح الشمسي

٢- تم تحريك اللوح الشمسي باتجاه المحور العمودي (Y) إلى أعلى وأسفل زاوية (٠٠٠) ولاحظنا مدى تغير قيمة التيار المجهز من اللوح الشمسي حيث كان هذا التغير محدود جدا وبنسنة لا تتجاوز ٣% في المنطقة المحصورة بين الزوايا (٤٥ ، -٤٥) درجة لكون مجال الرؤية للوح الشمسي تعد جدا كبيرة وجود قرص الشمس مقابل اللوح الشمسي ساعد على استقرار خرج التيار، ولكن بعد الزاوية (٩٠) درجة سوف تبدا شدة أشعة الشمس الساقطة على اللوح الشمسي تقل ويلتالي سوف تؤدي إلى هبوط في قيمة التيار، وكما مبين في الشكل رقم (١١). ومن الناحية العملية لا يتطلب تدوير اللوح الشمسي إلى بعد من (١٣٥) درجة لكي يتمكن من متابعة حركة قرص الشمس وعليه لم يتم للتطرق للقيم بعد هذه الزاوية.



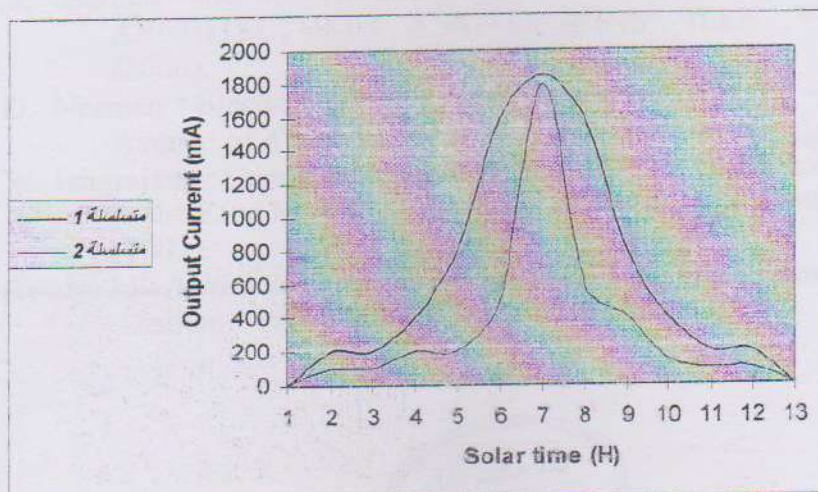
الشكل رقم (١١) العلاقة بين قيمة التيار وتغير الزاوية العمودية للوح الشمسي

٣- تم تحريك اللوح الشمسي باتجاه المحرر الأفقي إلى يمين وشمال زاوية (٠٠٠) ولاحظنا مدى تغير قيمة الجهد المميز من اللوح الشمسي حيث يظل كلما ابتعدنا عن نقطة الأصل وهذا يدل على إن قيمة الجهد تتأثر بشدة أذمة الشمس المعاقة وكما في الشكل رقم (١٢) ولكن يبقى التأثير الأكبر والأسأ لنوع المادة المصنوع منها الخلية الشمسية.



الشكل رقم (١٢) العلاقة بين قيمة الجهد وتغير الزاوية الأفقية للوح الشمسي

٤- إن نظام الخلايا الشمسية المتحركة تتيح إمكانية تتبع حركة قرص الشمس ولاستفادة من الطاقة الشمسية لأطول فترة ممكنة كما مبين من الشكل رقم (١٣) حيث إن الفترة الفعالة للطاقة الشمسية هي أربع ساعات فإذا كان اللوح الشمسي ثابت تستند فقط من ساعتين أما إذا كان متحرك فيمكن الاستفادة من طيلة الأربع ساعات.



الشكل رقم (١٣) توزيع قيمة خرج التيار الخلية الثابتة (متسلسلة ٢) والمحركة متسلسلة (١)

الاستنتاجات

يعرض هذا التصميم بشكل ناجٍ أهمية التقىع النور الشمسي إلى حركة فرص الشخص من ناحتين على قدر كافٍ من الأهمية أو فيما أردناه أنه يوحي من شدة أشعة الشمس طيلة فترة تواجدها وثانياً إمكانية تقليل لأنوار التسمية العديدة مما تؤديه نفس القراءة الكهربائية. ومن خلال ملاحظتنا إلى تغير في قيمة التيار المعاين مع النور الشمسي، أظهر يكه بالاتجاه الأفقي والعمودي لاحظنا إن قيمة التيار تتأثر بشكل كبير عند الحركة بالاتجاه الأفقي وهذه القيمة تتأثر بشكل جداً بسيط عند الحركة بالاتجاه العمودي وعلى ذلك يمكن بذلك حماية فعلية للسيطرة على حركة النور الشمسي بالاتجاهين وبالتالي الاستغناء عن الكاشف الرياعي في عملية السيطرة والاتجاه بالخلية الضوئية.

المصادر

- T. Jinayim," Highly Efficient Low Power Consumption Tracking Solar Cells for White LED-Based Lighting System" IJECSE, VOL. (1), NO. (2), (2007).
- Z. Kvasznica and G. Elmer " Optimizing Solar Tracking Systems for Solar Cells" Serbian-Hungarian Joint Symposium on Intelligent Systems SISY(2006).
- "Solar Electric Systems" www-solar.mek.ncsu.edu, Internet source (2003).
- "Photovoltaic Solar Electric System" www.norcalsolar.org,Internet source (2003)
- M. Griggs and B. Kayes "p-n Junction Heterostructure Device Physics Model of a Four Junction Solar Cell" Proc. of SPIE Vol. 6339, 63390D, (2006).
- A. Barnett and C. Honsberg "50% EFFICIENT SOLAR CELL ARCHITECTURES AND DESIGNS" IEEE ,VOL. (4244), (2006).
- D. Neamen " Electronic Circuit Analysis and Design" (2th -edition) Avenue of Americas, New York , (2001).
- W. Jangrajang "Solar Cell Tracking Control" " M. S. Degree submitted to the King Mongkut's Institute of Technology North Bangkok (2003).
- Ready, J.F. *Industrial Applications of Lasers*, Chapter 8. New York: Academic Press, Inc., 1978.

